

FORMULARZ ZGŁOSZENIA INSTALACJI WYTWARZAJĄCYCH POLA ELEKTROMAGNETYCZNE

I. Wypełnia podmiot prowadzący instalację dokonujący jej zgłoszenia

1. Nazwa i adres organu ochrony środowiska właściwego do przyjęcia zgłoszenia

Urząd Miasta Piotrków Trybunalski
Wydział Ochrony Środowiska i Rolnictwa
Pasaż Karola Rudowskiego 10
97-300 Piotrków Trybunalski

2. Nazwa instalacji zgodna z nazewnictwem stosowanym przez prowadzącego instalację

PIO1002_B (zgłoszenie nr 12)

3. Określenie nazw jednostek terytorialnych (gmin, powiatów i województw), na których terenie znajduje się instalacja, wraz podaniem symboli NTS jednostek terytorialnych, na których terenie znajduje się instalacja.

woj. ŁÓDZKIE 2.1.10 (KTS: 1005100000000), pow. Piotrków Trybunalski 4.1.10.17.62 (KTS: 10051011762000), gm. Piotrków Trybunalski 5.1.10.17.62.01.1 (KTS: 10051011762011)

4. Oznaczenie prowadzącego instalację, jego adres zamieszkania lub siedziby

P4 Sp. z o.o., ul Taśmowa 7, 02-677 Warszawa

5. Adres zakładu, na którego terenie prowadzona jest eksploatacja instalacji

97-300 Piotrków Trybunalski, Topolowa 1, gm. Piotrków Trybunalski, pow. Piotrków Trybunalski

6. Rodzaj instalacji zgodnie z załącznikiem nr 2 rozporządzenia Ministra Środowiska z dnia 2 lipca 2010r. w sprawie zgłoszenia instalacji wytwarzających pola elektromagnetyczne (Dz. U. nr 130, poz. 879).

Instalacja radiokomunikacyjna, której moc promieniowana izotropowo wynosi nie mniej niż 15W, emitująca pola elektromagnetyczne o częstotliwościach od 30 kHz do 300 GHz.

7. Rodzaj i zakres prowadzonej działalności, w tym wielkość produkcji lub wielkość świadczonych usług.

Usługi telekomunikacyjne bez prowadzenia produkcji. Wielkość świadczonych usług: usługi telekomunikacyjne dla ilości do 2000 użytkowników jednocześnie.

8. Czas funkcjonowania instalacji (dni tygodnia i godziny)

Wszystkie dni tygodnia, 24 godziny na dobę.

9. Emisja pola elektromagnetycznego o równoważnych mocach promieniowanych izotropowo (EIRP) poszczególnych anten:

Antena Sektorowa 11_TV: 4396W
Antena Sektorowa 11_TV: 4396W
Antena Sektorowa 12_DHLNU: 18297W
Antena Sektorowa 12_DHLNU: 18297W
Antena Sektorowa 21_TV: 4396W
Antena Sektorowa 21_TV: 4396W
Antena Sektorowa 22_DHLNU: 18297W
Antena Sektorowa 22_DHLNU: 18297W
Antena Sektorowa 31_TV: 4396W
Antena Sektorowa 31_TV: 4396W
Antena Sektorowa 32_HLNU: 13360W
Antena Sektorowa 32_HLNU: 18297W
Radiolinia RL1: 6918W
Radiolinia RL2: 8822W
Radiolinia RL3: 7079W
Radiolinia RL4: 1413W
Radiolinia RL5: 7079W

10. Opis stosowanych metod ograniczenia emisji

Instalacja ogranicza wielkość emisji w sposób automatyczny do wartości nie większych niż niezbędne do zapewnienia obsługi użytkowników sieci. Metoda zgodna z zasadą działania systemu telefonii komórkowej określona odpowiednimi normami.


11. Informacja czy stopień ograniczenia wielkości emisji jest zgodny z obowiązującymi przepisami

Konstrukcja stacji ogranicza wielkość emisji, tak że obowiązujące przepisy i normy dotyczące pól elektromagnetycznych są zachowane.

12. Szczegółowe dane odpowiednio do rodzaju instalacji zgodnie z wymaganiami określonymi w załączniku 2 do rozporządzenia

| | |
|-------|---|
| LP 1. | <p>Współrzędne geograficzne anten instalacji:</p> <p><i>Antena Sektorowa 11_TV: (19°41'09.7"E,51°25'17.2"N)</i> <i>Antena Sektorowa 11_TV: (19°41'09.7"E,51°25'17.2"N)</i> <i>Antena Sektorowa 12_DHLNU: (19°41'09.7"E,51°25'17.2"N)</i> <i>Antena Sektorowa 12_DHLNU: (19°41'09.7"E,51°25'17.2"N)</i> <i>Antena Sektorowa 21_TV: (19°41'09.7"E,51°25'17.1"N)</i> <i>Antena Sektorowa 21_TV: (19°41'09.7"E,51°25'17.1"N)</i> <i>Antena Sektorowa 22_DHLNU: (19°41'09.7"E,51°25'17.1"N)</i> <i>Antena Sektorowa 22_DHLNU: (19°41'09.7"E,51°25'17.1"N)</i> <i>Antena Sektorowa 31_TV: (19°41'09.1"E,51°25'16.6"N)</i> <i>Antena Sektorowa 31_TV: (19°41'09.1"E,51°25'16.6"N)</i> <i>Antena Sektorowa 32_HLNU: (19°41'09.1"E,51°25'16.6"N)</i> <i>Antena Sektorowa 32_HLNU: (19°41'09.1"E,51°25'16.6"N)</i> <i>Radiolinia RL1: (19°41'09.2"E,51°25'17.2"N)</i> <i>Radiolinia RL2: (19°41'09.2"E,51°25'17.2"N)</i> <i>Radiolinia RL3: (19°41'09.2"E,51°25'17.2"N)</i> <i>Radiolinia RL4: (19°41'09.2"E,51°25'17.2"N)</i> <i>Radiolinia RL5: (19°41'09.2"E,51°25'17.2"N)</i></p> |
| LP 2. | <p>Częstotliwość pracy instalacji: 800MHz,900MHz,1800MHz,2100MHz,2600MHz,23GHz,80GHz</p> |
| LP 3. | <p>Wysokość środków elektrycznych anten nad poziomem terenu:</p> <p><i>Antena Sektorowa 11_TV: 40,20m</i> <i>Antena Sektorowa 11_TV: 40,20m</i> <i>Antena Sektorowa 12_DHLNU: 40,20m</i> <i>Antena Sektorowa 12_DHLNU: 40,20m</i> <i>Antena Sektorowa 21_TV: 40,20m</i> <i>Antena Sektorowa 21_TV: 40,20m</i> <i>Antena Sektorowa 22_DHLNU: 40,20m</i> <i>Antena Sektorowa 22_DHLNU: 40,20m</i> <i>Antena Sektorowa 31_TV: 40,20m</i> <i>Antena Sektorowa 31_TV: 40,20m</i> <i>Antena Sektorowa 32_HLNU: 40,20m</i> <i>Antena Sektorowa 32_HLNU: 40,20m</i> <i>Radiolinia RL1: 40,00m</i> <i>Radiolinia RL2: 39,60m</i> <i>Radiolinia RL3: 41,00m</i> <i>Radiolinia RL4: 40,20m</i> <i>Radiolinia RL5: 41,00m</i></p> |
| LP 4. | <p>Emisja pola elektromagnetycznego o równoważnych mocach promieniowanych izotropowo (EIRP) poszczególnych anten:</p> <p><i>Antena Sektorowa 11_TV: 4396W</i> <i>Antena Sektorowa 11_TV: 4396W</i> <i>Antena Sektorowa 12_DHLNU: 18297W</i> <i>Antena Sektorowa 12_DHLNU: 18297W</i></p> |

| | |
|-------|---|
| | <p>Antena Sektorowa 21_TV: 4396W Antena Sektorowa 21_TV: 4396W Antena Sektorowa 22_DHLNU: 18297W Antena Sektorowa 22_DHLNU: 18297W Antena Sektorowa 31_TV: 4396W Antena Sektorowa 31_TV: 4396W Antena Sektorowa 32_HLNU: 13360W Antena Sektorowa 32_HLNU: 18297W Radiolinia RL1: 6918W Radiolinia RL2: 8822W Radiolinia RL3: 7079W Radiolinia RL4: 1413W Radiolinia RL5: 7079W</p> |
| LP 5. | <p>Zakresy azymutów i kątów pochylenia osi głównych wiązek promieniowania poszczególnych anten Instalacji:</p> <p>Antena Sektorowa 11_TV: azymut 30°, pochylenie 0-10° (800MHz), pochylenie 0-10° (900MHz) Antena Sektorowa 11_TV: azymut 330°, pochylenie 0-10° (800MHz), pochylenie 0-10° (900MHz) Antena Sektorowa 12_DHLNU: azymut 30°, pochylenie 0-10° (1800MHz), pochylenie 0-10° (2100MHz), pochylenie 0-10° (2600MHz) Antena Sektorowa 12_DHLNU: azymut 330°, pochylenie 0-10° (1800MHz), pochylenie 0-10° (2100MHz), pochylenie 0-10° (2600MHz) Antena Sektorowa 21_TV: azymut 90°, pochylenie 0-10° (800MHz), pochylenie 0-10° (900MHz) Antena Sektorowa 21_TV: azymut 150°, pochylenie 0-10° (800MHz), pochylenie 0-10° (900MHz) Antena Sektorowa 22_DHLNU: azymut 90°, pochylenie 0-10° (1800MHz), pochylenie 0-10° (2100MHz), pochylenie 0-10° (2600MHz) Antena Sektorowa 22_DHLNU: azymut 150°, pochylenie 0-10° (1800MHz), pochylenie 0-10° (2100MHz), pochylenie 0-10° (2600MHz) Antena Sektorowa 31_TV: azymut 210°, pochylenie 0-10° (800MHz), pochylenie 0-10° (900MHz) Antena Sektorowa 31_TV: azymut 270°, pochylenie 0-10° (800MHz), pochylenie 0-10° (900MHz) Antena Sektorowa 32_HLNU: azymut 210°, pochylenie 0-10° (1800MHz), pochylenie 0-10° (2100MHz), pochylenie 0-10° (2600MHz) Antena Sektorowa 32_HLNU: azymut 270°, pochylenie 0-10° (1800MHz), pochylenie 0-10° (2100MHz), pochylenie 0-10° (2600MHz) Radiolinia RL1: azymut 16° +/-30°, pochylenie 0° Radiolinia RL2: azymut 62° +/-30°, pochylenie 0° Radiolinia RL3: azymut 126° +/-30°, pochylenie 0° Radiolinia RL4: azymut 233° +/-30°, pochylenie 0° Radiolinia RL5: azymut 322° +/-30°, pochylenie 0°</p> |
| LP 6. | <p>Dla anteny Antena Sektorowa 11_TV miejsca dostępne dla ludności nie znajdują się w określonej we wskazanym poniżej rozporządzeniu odległości od środka elektrycznego anteny w osi jej głównej wiązki promieniowania, Dla anteny Antena Sektorowa 11_TV miejsca dostępne dla ludności nie znajdują się w określonej we wskazanym poniżej rozporządzeniu odległości od środka elektrycznego anteny w osi jej głównej wiązki promieniowania, Dla anteny Antena Sektorowa 12_DHLNU miejsca dostępne dla ludności nie znajdują się w określonej we wskazanym poniżej rozporządzeniu odległości od środka elektrycznego anteny w osi jej głównej wiązki promieniowania, Dla anteny Antena Sektorowa 12_DHLNU miejsca dostępne dla ludności nie znajdują się w określonej we wskazanym poniżej rozporządzeniu odległości od środka elektrycznego anteny w osi jej głównej wiązki promieniowania, Dla anteny Antena Sektorowa 21_TV miejsca dostępne dla ludności nie znajdują się w określonej we</p> |

| | |
|--|--|
| | <p>wskazany poniżej rozporządzeniu odległości od środka elektrycznego anteny w osi jej głównej wiązki promieniowania, Dla anteny Antena Sektorowa 21_TV miejsca dostępne dla ludności nie znajdują się w określonej we wskazanym poniżej rozporządzeniu odległości od środka elektrycznego anteny w osi jej głównej wiązki promieniowania, Dla anteny Antena Sektorowa 22_DHLNU miejsca dostępne dla ludności nie znajdują się w określonej we wskazanym poniżej rozporządzeniu odległości od środka elektrycznego anteny w osi jej głównej wiązki promieniowania, Dla anteny Antena Sektorowa 22_DHLNU miejsca dostępne dla ludności nie znajdują się w określonej we wskazanym poniżej rozporządzeniu odległości od środka elektrycznego anteny w osi jej głównej wiązki promieniowania, Dla anteny Antena Sektorowa 31_TV miejsca dostępne dla ludności nie znajdują się w określonej we wskazanym poniżej rozporządzeniu odległości od środka elektrycznego anteny w osi jej głównej wiązki promieniowania, Dla anteny Antena Sektorowa 31_TV miejsca dostępne dla ludności nie znajdują się w określonej we wskazanym poniżej rozporządzeniu odległości od środka elektrycznego anteny w osi jej głównej wiązki promieniowania, Dla anteny Antena Sektorowa 32_HLNU miejsca dostępne dla ludności nie znajdują się w określonej we wskazanym poniżej rozporządzeniu odległości od środka elektrycznego anteny w osi jej głównej wiązki promieniowania, Dla anteny Antena Sektorowa 32_HLNU miejsca dostępne dla ludności nie znajdują się w określonej we wskazanym poniżej rozporządzeniu odległości od środka elektrycznego anteny w osi jej głównej wiązki promieniowania, a zatem, zgodnie z przepisami wydanymi na podstawie art. 60 ustawy z dnia 3 października 2008r. o udostępnianiu informacji o środowisku i jego ochronie, udziale społeczeństwa w ochronie środowiska oraz o ocenach oddziaływania na środowisko, tj. Rozporządzeniem Rady Ministrów z dnia 10 września 2019 r. w sprawie przedsięwzięć mogących znacząco oddziaływać na środowisko (Dz.U. 2019 poz. 1839), przedmiotowa instalacja nie jest kwalifikowana jako przedsięwzięcie mogące zawsze bądź mogące potencjalnie znacząco oddziaływać na środowisko.</p> |
| LP 7. | Wyniki pomiarów poziomów pól elektromagnetycznych – jako załącznik (raport z pomiarów) |
| <p>13. Miejscowość, data: Warszawa, 2020-04-20 Imię i nazwisko osoby reprezentującej prowadzącego instalację: Monika Bieroza Podpis:  Pełnomocnik Zarządu</p> | |
| II. Wypełnia organ ochrony środowiska przyjmujący zgłoszenie | |
| Data zarejestrowania zgłoszenia | Numer zgłoszenia |



Laboratorium EMVO Sp. J. Urbański, Pawelak

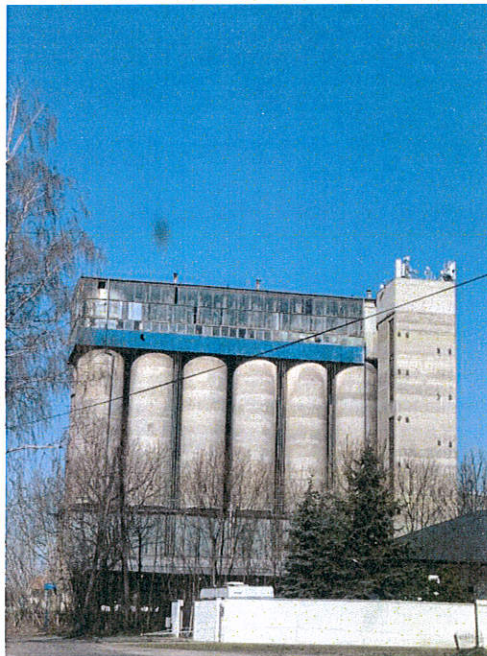
ul. Jasna 1
00-013 Warszawa

tel. +48 22 780 29 64
e-mail: laboratorium@emvo.pl



AB 1630

Sprawozdanie z pomiarów pól elektromagnetycznych - środowisko ogólne nr 30/04/OŚ/2020-P4-W



| | | |
|--------------------------|--|---------------------------------|
| Nr i nazwa stacji | PIO1002 | |
| Adres | Piotrków Trybunalski, ul. Topolowa 1, woj. łódzkie | |
| Opracowanie | Wiesław Laskowski | Specjalista ds. pomiarów |
| Autoryzacja | Andrzej Urbański | Kierownik Laboratorium |
| Podpis | Podpis jest prawidłowy Dokument podpisany przez Andrzej Urbański Data: 2020.04.17 15:45:32 CEST Powód: Zatwierdzam dokument | |
| Data | 2020-04-09 | |

Spis treści

| | |
|---|----|
| 1. Informacje ogólne. | 3 |
| 2. Podstawa prawna. | 3 |
| 3. Opis pomiarów. | 4 |
| 4. Zróżnicowanie dopuszczalne poziomy pól elektromagnetycznych..... | 4 |
| 5. Charakterystyka źródeł PEM..... | 5 |
| 6. Wyniki pomiarów. | 6 |
| 7. Stwierdzenie zgodności. | 10 |
| 8. Oświadczenie..... | 10 |
| 9. Spis załączników. | 10 |

1. Informacje ogólne.

| | |
|--|---|
| Zleceniodawca | P4 sp. z o.o., ul. Taśmowa 7, 02-667 Warszawa osoba udzielająca informacji – Monika Jankowska |
| Istotne informacje dostarczone przez zleceniodawcę | komplet informacji niezbędnych do wykonania pomiarów i opracowania sprawozdania |
| Prowadzący instalację | P4 sp. z o.o., ul. Taśmowa 7, 02-677 Warszawa |
| Lokalizacja obiektu | Piotrków Trybunalski, ul. Topolowa 1, woj. łódzkie |
| Miejsce instalacji anten | maszty stalowe na dachu budynku |
| Miejsce instalacji urządzeń | dach budynku |
| Osoby wykonujące pomiar | Jakub Frączak - pomiarowiec |
| Data wykonania pomiaru | 2020-04-09 |
| Temperatura na początku pomiaru [°C] | 16 |
| Temperatura na koniec pomiaru [°C] | 18 |
| Warunki atmosferyczne | brak opadów |
| Wilgotność na początku pomiaru [%] | 26,1 |
| Wilgotność na koniec pomiaru [%] | 25 |
| Inne źródła pól elektromagnetycznych | występują |
| Tryb pracy urządzeń | maksymalny, stacja skonfigurowana na tryb pomiarowy – wysłano sms z ustalonej treści do NOC |

2. Podstawa prawna.

2.1 Normy i rozporządzenia:

- Rozporządzeniem Ministra Klimatu z dnia 17 lutego 2020 r. w sprawie sposobów sprawdzania dotrzymania dopuszczalnych poziomów pól elektromagnetycznych w środowisku (Dz.U. 2020 poz. 258)
- Rozporządzenie Ministra Zdrowia z dnia 17 grudnia 2019 r. w sprawie dopuszczalnych poziomów pól elektromagnetycznych w środowisku (Dz.U. 2019 poz. 2448)
- Obwieszczenie Marszałka Sejmu Rzeczypospolitej Polskiej z dnia 19 lipca 2019 r. w sprawie ogłoszenia jednolitego tekstu ustawy - Prawo ochrony środowiska (Dz.U. 2019 poz. 1396).

3. Opis pomiarów

| | |
|----------------------------------|--|
| Metodologia pomiarowa | Pomiary w oparciu o Rozporządzeniem Ministra Klimatu z dnia 17 lutego 2020 r. w sprawie sposobów sprawdzania dotrzymania dopuszczalnych poziomów pól elektromagnetycznych w środowisku (Dz.U. 2020 poz. 258), Dokument PCA DAB-18 „Program akredytacji laboratoriów badawczych wykonujących pomiary pola elektromagnetycznego w środowisku” wyd. 1, Warszawa, 02.02.2017 r. |
| Cel badań | Określenie wartości natężenia pola elektrycznego w miejscach dostępnych dla ludności. |
| Opis zestawu pomiarowego | Miernik Narda NBM 520, Sonda EF 9091, o zakresie pomiarowym 0,8 V/m 400V/m pracująca w paśmie 0,1 – 90 GHz, świadectwo wydane przez Laboratorium Wzorców i Metrologii Pola Elektromagnetycznego, Instytut Telekomunikacji, Teleinformatyki i Akustyki Politechniki Wrocławskiej. Świadectwo ważne do 08.07.2021 r. Miernik Narda NBM 520, Sonda EF 9091 pracująca w zakresie temperatury -10°C - +50°C oraz wilgotności 5% - 95%. Niepewność rozszerzona wynosi 57,6% przy uwzględnieniu współczynnika rozszerzenia k=2. |
| Wyposażenie pomocnicze | Termohigrometr TechnoLine, typ: WS-9410, nr identyfikacyjny H-112/17, świadectwo wzorcowania z dn. 31.05.2017r. wydane przez Laboratorium Pomiarowe "MUTECH". Przymiar wstępowy STABILA, nr seryjny 10721, świadectwo wzorcowania z dn. 19.05.2018, nr świadectwa 6W1/1487/18 wydane przez Zespół Laboratoriów wzorcujących Okręgowego Urzędu Miar w Gdańsku. GPS Garmin 64s okresowo sprawdzany w punktach osnowy geodezyjnej klasy 3 na podstawie licencji punktu, zgodnie z procedurą sprawdzeń okresowych IS/PO-16-11/03. |
| Sposób powiadamiania dysponentów | Zgodnie z pkt 14 załącznika do rozporządzenia Ministra Klimatu z dnia 17 lutego 2020 r. (poz. 258) poinformowano dysponentów lokali o planowanych pomiarach. Informacji dokonano między innymi poprzez: 1. bloki mieszkalne - umieszczenie informacji o planowanych pomiarach na tablicach ogłoszeń w klatkach schodowych bloków lub na drzwiach wejściowych, 2. biurowce, budynki użyteczności publicznej itp. - przekazanie zawiadomienia do administracji lub recepcji obiektu, 3. domy jednorodzinne, szeregowce itp. - pozostawienie informacji w skrzynkach pocztowych lub przekazanie osobiste. |

4. Zróżnicowanie dopuszczalne poziomy pól elektromagnetycznych.

Zakresy znajdują się w Dzienniku Ustaw z dnia 17 grudnia 2019 r. przedstawione są w tabeli nr 2 (Dz. U. z 2019 r. poz. 2448).

| Zakres częstotliwości pola elektromagnetycznego | Parametr fizyczny | | |
|---|------------------------------|------------------------------|------------------------------------|
| | Składowa elektryczna E (V/m) | Składowa magnetyczna H (A/m) | Gęstość mocy S (W/m ²) |
| od 400 MHz do 2000 MHz | $1,375 \times f^{0,5}$ | $0,0037 \times f^{0,5}$ | f / 200 |
| od 2 GHz do 300 GHz | 61 | 0,16 | 10 |

5. Charakterystyka źródeł PEM.

Zgodnie z informacją otrzymaną od Zleceniodawcy pomiary zostały wykonane przy ustawieniach pochylenia anten zgodnych z pkt. 13, ppkt 2 rozporządzenia Ministra Klimatu z dnia 17 lutego 2020 roku.

Tabela 1. Anteny sektorowe

| Charakterystyka promieniowania | | kierunkowa | | | | | | | | | | | | | | |
|---------------------------------|--|------------------|-----|------------------|-------|------|------------------|-----|------------------|-------|------|------------------|-----|------------------|-------|------|
| Rzeczywisty czas pracy [h/dobę] | | 24 | | | | | | | | | | | | | | |
| Rodzaj wytwarzanego pola | | stacjonarne | | | | | | | | | | | | | | |
| Lp. | Wyszczególnienie | sektor 1 | | | | | sektor 2 | | | | | sektor 3 | | | | |
| I | Nadajnik stacji bazowej: | | | | | | | | | | | | | | | |
| 1 | Typ / Producent | DBS / Huawei | | | | | | | | | | | | | | |
| 2 | Częstotliwość (pasmo) MHz | 900 | 800 | 2600 | 2100 | 1800 | 900 | 800 | 2600 | 2100 | 1800 | 900 | 800 | 2600 | 2100 | 1800 |
| 3 | Maksymalna moc nadawana na sektor [dBm] | 44,77 | 46 | 49 | 47,78 | 49 | 44,77 | 46 | 49 | 47,78 | 49 | 44,77 | 46 | 49 | 47,78 | 49 |
| II | Obciążenie: | | | | | | | | | | | | | | | |
| 1 | Typ anteny | Huawei AMB4519R0 | | Huawei AMB4520R0 | | | Huawei AMB4519R0 | | Huawei AMB4520R0 | | | Huawei AMB4519R0 | | Huawei AMB4520R0 | | |
| 2 | Producent anteny | Huawei | | Huawei | | | Huawei | | Huawei | | | Huawei | | Huawei | | |
| 3 | Ilość anten | 1 | | 1 | | | 1 | | 1 | | | 1 | | 1 | | |
| 4 | Azymut | 30 | | | | | 90 | | | | | 150 | | | | |
| 5 | Zakres kątów pochylenia anten [°] | 0,00-10,00 | | | | | 0,00-10,00 | | | | | 0,00-10,00 | | | | |
| 6 | Wysokość zainstalowania n.p.t. [m] (środek elektryczny anteny) | 40,20 | | | | | 40,20 | | | | | 40,20 | | | | |
| 7 | EIRP [W] | 4396 | | 18297 | | | 4396 | | 18297 | | | 4396 | | 18297 | | |

| Charakterystyka promieniowania | | kierunkowa | | | | | | | | | | | | | | |
|---------------------------------|--|------------------|-----|------------------|------|-------|------------------|-----|------------------|-------|------|------------------|-----|------------------|-------|------|
| Rzeczywisty czas pracy [h/dobę] | | 24 | | | | | | | | | | | | | | |
| Rodzaj wytwarzanego pola | | stacjonarne | | | | | | | | | | | | | | |
| Lp. | Wyszczególnienie | sektor 4 | | | | | sektor 5 | | | | | sektor 6 | | | | |
| I | Nadajnik stacji bazowej: | | | | | | | | | | | | | | | |
| 1 | Typ / Producent | DBS / Huawei | | | | | | | | | | | | | | |
| 2 | Częstotliwość (pasmo) MHz | 900 | 800 | 2600 | 2100 | 1800 | 900 | 800 | 2600 | 2100 | 1800 | 900 | 800 | 2600 | 2100 | 1800 |
| 3 | Maksymalna moc nadawana na sektor [dBm] | 44,77 | 46 | 47,78 | 46 | 47,78 | 44,77 | 46 | 49 | 47,78 | 49 | 44,77 | 46 | 49 | 47,78 | 49 |
| II | Obciążenie: | | | | | | | | | | | | | | | |
| 1 | Typ anteny | Huawei AMB4519R0 | | Huawei AMB4520R0 | | | Huawei AMB4519R0 | | Huawei AMB4520R0 | | | Huawei AMB4519R0 | | Huawei AMB4520R0 | | |
| 2 | Producent anteny | Huawei | | Huawei | | | Huawei | | Huawei | | | Huawei | | Huawei | | |
| 3 | Ilość anten | 1 | | 1 | | | 1 | | 1 | | | 1 | | 1 | | |
| 4 | Azymut | 210 | | | | | 270 | | | | | 330 | | | | |
| 5 | Zakres kątów pochylenia anten [°] | 0,00-10,00 | | | | | 0,00-10,00 | | | | | 0,00-10,00 | | | | |
| 6 | Wysokość zainstalowania n.p.t. [m] (środek elektryczny anteny) | 40,20 | | | | | 40,20 | | | | | 40,2 | | | | |
| 7 | EIRP [W] | 4396 | | 13360 | | | 4396 | | 18297 | | | 4396 | | 18297 | | |

„Bez pisemnej zgody Laboratorium niniejsze sprawozdanie nie może być powielane inaczej, jak tylko w całości. Ponadto wyniki dotyczą tylko badanych obiektów przywołanych w niniejszym sprawozdaniu z badań”

2. Anteny radioliniowe

| Charakterystyka promieniowania | | | | kierunkowa | | | |
|---------------------------------|------------------|---------------------------|---------------------|------------------|---------------------|------------|--|
| Rzeczywisty czas pracy [h/dobę] | | | | 24 | | | |
| Rodzaj wytwarzanego pola | | | | stacjonarne | | | |
| Lp. | Linia radiowa | | | Antena | | | |
| | typ/producent | częstotliwość pracy [GHz] | moc wyjściowa [dBm] | typ/producent | średnica anteny [m] | azymut [°] | wysokość zainstalowania n.p.t. [m] (środek elektryczny anteny) |
| 1 | OPTIX RTN/HUAWEI | 23 | 28 | VHLPX2-23/Andrew | 0,6 | 16 | 40,00 |
| 2 | OPTIX RTN/HUAWEI | 80/23 | 18/25 | A23S80S06/Huawei | 0,6 | 62 | 39,60 |
| 3 | OPTIX RTN/HUAWEI | 80 | 18 | VHLP2-80/Andrew | 0,6 | 126 | 41,00 |
| 4 | OPTIX RTN/HUAWEI | 80 | 18 | VHLP1-80/Andrew | 0,3 | 233 | 40,20 |
| 5 | OPTIX RTN/HUAWEI | 80 | 18 | VHLP2-80/Andrew | 0,6 | 322 | 41,00 |

6. Wyniki pomiarów.

Wyniki pomiarów pól elektromagnetycznych dla celów ochrony środowiska przedstawia poniższa tabela. Piony pomiarowe zostały przedstawione w zał. 2.

| Nr PP | Pole-E [V/m] | Pole-E *Ck, Cs, +U [V/m] | Pole-H [A/m] | Pole-H *Ck, Cs, +U [A/m] | Wysokość pomiaru [m] | Współrzędne PP x, y | Opis PP | WM _E | WM _H |
|-------|--------------|--------------------------|--------------|--------------------------|----------------------|------------------------------|---|-----------------|-----------------|
| 1 | 1,4 | 5,52 | 0,004 | 0,015 | 1,5 | 51°25'19,4"N 19°41'12,1"E | otoczenie stacji bazowej - 80 m od obiektu wzdłuż gł. osi promieniowania - GKP | 0,142 | 0,140 |
| 2 | 1,2 | 4,73 | 0,003 | 0,013 | 1,6 | 51°25'21,6"N 19°41'14,4"E | otoczenie stacji bazowej - 160 m od obiektu wzdłuż gł. osi promieniowania - GKP | 0,122 | 0,120 |
| 3 | 1,5 | 5,91 | 0,004 | 0,016 | 1,5 | 51°25'23,8"N 19°41'16,3"E | otoczenie stacji bazowej - 240 m od obiektu wzdłuż gł. osi promieniowania - GKP | 0,152 | 0,150 |
| 4 | 0,9 | 3,55 | 0,002 | 0,009 | 1,0 | 51°25'26,0"N 19°41'18,7"E | otoczenie stacji bazowej - 320 m od obiektu wzdłuż gł. osi promieniowania - GKP | 0,091 | 0,090 |
| 5 | 1,3 | 5,12 | 0,003 | 0,014 | 0,7 | 51°25'28,3"N 19°41'20,9"E | otoczenie stacji bazowej - 400 m od obiektu wzdłuż gł. osi promieniowania - GKP | 0,132 | 0,130 |
| 6 | 1,1 | 4,33 | 0,003 | 0,011 | 0,6 | 51°25'17,1"N 19°41'14,1"E | otoczenie stacji bazowej - 80 m od obiektu wzdłuż gł. osi promieniowania - GKP | 0,111 | 0,110 |
| 7 | 1,2 | 4,73 | 0,003 | 0,013 | 1,1 | 51°25'17,1"N 19°41'18,3"E | otoczenie stacji bazowej - 160 m od obiektu wzdłuż gł. osi promieniowania - GKP | 0,122 | 0,120 |
| 8 | 1,3 | 5,12 | 0,003 | 0,014 | 1,3 | 51°25'17,1"N 19°41'2,4"E | otoczenie stacji bazowej - 240 m od obiektu wzdłuż gł. osi promieniowania - GKP | 0,132 | 0,130 |
| 9 | 1,1 | 4,33 | 0,003 | 0,011 | 1,7 | 51°25'17,1"N 19°41'26,6"E | otoczenie stacji bazowej - 320 m od obiektu wzdłuż gł. osi promieniowania - GKP | 0,111 | 0,110 |
| 10 | 0,8 | 3,15 | 0,002 | 0,008 | 1,9 | 51°25'17,1"N 19°41'30,6"E | otoczenie stacji bazowej - 400 m od obiektu wzdłuż gł. osi promieniowania - GKP | 0,081 | 0,080 |
| 11 | 1,3 | 5,12 | 0,003 | 0,014 | 1,8 | 51°25'14,9"N 19°41'11,6"E | otoczenie stacji bazowej - 80 m od obiektu wzdłuż gł. osi promieniowania - GKP | 0,132 | 0,130 |
| 12 | 1,1 | 4,33 | 0,003 | 0,011 | 1,5 | 51°25'12,7"N 19°41'14,0"E | otoczenie stacji bazowej - 160 m od obiektu wzdłuż gł. osi promieniowania - GKP | 0,111 | 0,110 |
| 13 | 1,0 | 3,94 | 0,003 | 0,010 | 0,7 | 51°25'10,4"N 19°41'16,0"E | otoczenie stacji bazowej - 240 m od obiektu wzdłuż gł. osi promieniowania - GKP | 0,101 | 0,100 |

„Bez pisemnej zgody Laboratorium niniejsze sprawozdanie nie może być powielane inaczej, jak tylko w całości. Ponadto wyniki dotyczą tylko badanych obiektów przywołanych w niniejszym sprawozdaniu z badań”

| Nr PP | Pole-E [V/m] | Pole-E *Ck, Cs, +U [V/m] | Pole-H [A/m] | Pole-H *Ck, Cs, +U [A/m] | Wysokość pomiaru [m] | Współrzędne PP x, y | Opis PP | WM _E | WM _H |
|-------|--------------|--------------------------|--------------|--------------------------|----------------------|-------------------------------|---|-----------------|-----------------|
| 14 | 0,9 | 3,55 | 0,002 | 0,009 | 1,2 | 51°25'08,1"N 19°41'18,0"E | otoczenie stacji bazowej - 320 m od obiektu wzdłuż gł. osi promieniowania - GKP | 0,091 | 0,090 |
| 15 | < 0,8* | | < 0,002 | | 0,3 - 2,0 | 51°25'05,9"N 19°41'20,0"E | otoczenie stacji bazowej - 400 m od obiektu wzdłuż gł. osi promieniowania - GKP | - | - |
| 16 | 1,1 | 4,33 | 0,003 | 0,011 | 1,4 | 51°25'14,3"N 19°41'06,8"E | otoczenie stacji bazowej - 80 m od obiektu wzdłuż gł. osi promieniowania - GKP | 0,111 | 0,110 |
| 17 | 1,4 | 5,52 | 0,004 | 0,015 | 1,5 | 51°25'12,1"N 19°41'04,6"E | otoczenie stacji bazowej - 160 m od obiektu wzdłuż gł. osi promieniowania - GKP | 0,142 | 0,140 |
| 18 | 1,3 | 5,12 | 0,003 | 0,014 | 1,4 | 51°25'09,9"N 19°41'02,5"E | otoczenie stacji bazowej - 240 m od obiektu wzdłuż gł. osi promieniowania - GKP | 0,132 | 0,130 |
| 19 | 0,9 | 3,55 | 0,002 | 0,009 | 0,9 | 51°25'07,6"N 19°41'00,3"E | otoczenie stacji bazowej - 320 m od obiektu wzdłuż gł. osi promieniowania - GKP | 0,091 | 0,090 |
| 20 | < 0,8* | - | < 0,002 | - | 0,3 - 2,0 | 51°25'05,4"N 19°40'58,32"E | otoczenie stacji bazowej - 400 m od obiektu wzdłuż gł. osi promieniowania - GKP | - | - |
| 21 | 1,3 | 5,12 | 0,003 | 0,014 | 1,5 | 51°25'16,5"N 19°41'04,7"E | otoczenie stacji bazowej - 80 m od obiektu wzdłuż gł. osi promieniowania - GKP | 0,132 | 0,130 |
| 22 | 1,5 | 5,91 | 0,004 | 0,016 | 1,7 | 51°25'16,5"N 19°41'00,6"E | otoczenie stacji bazowej - 160 m od obiektu wzdłuż gł. osi promieniowania - GKP | 0,152 | 0,150 |
| 23 | 1,1 | 4,33 | 0,003 | 0,011 | 1,6 | 51°25'16,5"N 19°40'56,4"E | otoczenie stacji bazowej - 240 m od obiektu wzdłuż gł. osi promieniowania - GKP | 0,111 | 0,110 |
| 24 | 0,9 | 3,55 | 0,002 | 0,009 | 1,3 | 51°25'16,5"N 19°40'52,3"E | otoczenie stacji bazowej - 320 m od obiektu wzdłuż gł. osi promieniowania - GKP | 0,091 | 0,090 |
| 25 | 1,5 | 5,91 | 0,004 | 0,016 | 0,5 | 51°25'16,5"N 19°40'48,1"E | otoczenie stacji bazowej - 400 m od obiektu wzdłuż gł. osi promieniowania - GKP | 0,152 | 0,150 |
| 26 | 1,3 | 5,12 | 0,003 | 0,014 | 0,6 | 51°25'23,9"N 19°41'03,8"E | otoczenie stacji bazowej - 240 m od obiektu wzdłuż gł. osi promieniowania - GKP | 0,132 | 0,130 |
| 27 | 1,1 | 4,33 | 0,003 | 0,011 | 1,1 | 51°25'26,2"N 19°41'01,8"E | otoczenie stacji bazowej - 320 m od obiektu wzdłuż gł. osi promieniowania - GKP | 0,111 | 0,110 |
| 28 | 1,2 | 4,73 | 0,003 | 0,013 | 1,3 | 51°25'28,4"N 19°40'59,7"E | otoczenie stacji bazowej - 400 m od obiektu wzdłuż gł. osi promieniowania - GKP | 0,122 | 0,120 |
| 29 | 1,1 | 4,33 | 0,003 | 0,011 | 1,3 | 51°25'19,4"N 19°41'11,0"E | otoczenie stacji bazowej - 70 m od obiektu wzdłuż gł. osi promieniowania - GKP | 0,111 | 0,110 |
| 30 | 1,2 | 4,73 | 0,003 | 0,013 | 1,1 | 51°25'21,9"N 19°41'12,2"E | otoczenie stacji bazowej - 150 m od obiektu wzdłuż gł. osi promieniowania - GKP | 0,122 | 0,120 |
| 31 | 1,0 | 3,94 | 0,003 | 0,010 | 1,0 | 51°25'18,2"N 19°41'13,2"E | otoczenie stacji bazowej - 70 m od obiektu wzdłuż gł. osi promieniowania - GKP | 0,101 | 0,100 |
| 32 | 0,8 | 3,15 | 0,002 | 0,008 | 0,8 | 51°25'19,4"N 19°41'16,9"E | otoczenie stacji bazowej - 150 m od obiektu wzdłuż gł. osi promieniowania - GKP | 0,081 | 0,080 |
| 33 | 1,1 | 4,33 | 0,003 | 0,011 | 1,0 | 51°25'15,7"N 19°41'12,7"E | otoczenie stacji bazowej - 70 m od obiektu wzdłuż gł. osi promieniowania - GKP | 0,111 | 0,110 |

| Nr PP | Pole-E [V/m] | Pole-E *Ck, Cs, +U [V/m] | Pole-H [A/m] | Pole-H *Ck, Cs, +U [A/m] | Wysokość pomiaru [m] | Współrzędne PP x, y | Opis PP | WM _E | WM _H |
|-------|--------------|--------------------------|--------------|--------------------------|----------------------|--|---|-----------------|-----------------|
| 34 | 0,9 | 3,55 | 0,002 | 0,009 | 0,7 | 51°25'14,0"N 19°41'15,8"E | otoczenie stacji bazowej - 150 m od obiektu wzdłuż gł. osi promieniowania - GKP | 0,091 | 0,090 |
| 35 | 0,9 | 3,55 | 0,002 | 0,009 | 1,3 | 51°25'14,2"N 19°41'04,5"E | otoczenie stacji bazowej - 140 m od obiektu wzdłuż gł. osi promieniowania - GKP | 0,091 | 0,090 |
| 36 | < 0,8* | - | < 0,002 | - | 0,3 - 2,0 | 51°25'12,3"N 19°40'59,7"E | otoczenie stacji bazowej - 250 m od obiektu wzdłuż gł. osi promieniowania - GKP | - | - |
| 37 | 1,1 | 4,33 | 0,003 | 0,011 | 0,6 | 51°25'17,8"N 19°41'06,5"E | otoczenie stacji bazowej - PKP | 0,111 | 0,110 |
| 38 | 1,0 | 3,94 | 0,003 | 0,010 | 1,1 | 51°25'18,9"N 19°41'04,4"E | otoczenie stacji bazowej - PKP | 0,101 | 0,100 |
| A | 0,9 | 3,55 | 0,002 | 0,009 | 1,3 | ul. Topolowa 25a, zakłady utylizacji, pomiar przy wejściu - DPP** | | 0,091 | 0,090 |
| B | 1,8 | 7,09 | 0,005 | 0,019 | 1,7 | ul. Topolowa 1g, mieszkańcy nieobecni, I piętro, klatka sch., okno - DPP** | | 0,182 | 0,180 |
| C | 0,8 | 3,15 | 0,002 | 0,008 | 1,9 | ul. Topolowa 3/5, odmowa, pomiar przy wejściu - DPP** | | 0,081 | 0,080 |
| D | < 0,8* | - | < 0,002 | - | 0,3 - 2,0 | ul. Topolowa 13/11, odmowa, pomiar przy wejściu - DPP** | | - | - |
| E | 1,2 | 4,73 | 0,003 | 0,013 | 1,3 | ul. Topolowa 15, mieszkańcy nieobecni, pomiar przy wejściu - DPP** | | 0,122 | 0,120 |
| F | 1,5 | 5,91 | 0,004 | 0,016 | 0,5 | ul. Topolowa 8, odmowa, II piętro, klatka sch., okno - DPP** | | 0,152 | 0,150 |
| G | 0,9 | 3,55 | 0,002 | 0,009 | 0,6 | ul. Topolowa 10, odmowa, II piętro, klatka sch., okno - DPP** | | 0,091 | 0,090 |
| H | 0,9 | 3,55 | 0,002 | 0,009 | 1,1 | ul. Topolowa 23, odmowa, pomiar przy wejściu - DPP** | | 0,091 | 0,090 |
| I | 0,8 | 3,15 | 0,002 | 0,008 | 1,3 | ul. Wysoka 21, odmowa, pomiar przy wejściu - DPP** | | 0,081 | 0,080 |
| J | 1,6 | 6,30 | 0,004 | 0,017 | 1,3 | ul. Topolowa 14, odmowa, pomiar przy wejściu - DPP** | | 0,162 | 0,160 |
| K | 1,6 | 6,30 | 0,004 | 0,017 | 1,1 | ul. Rolnicza 93, odmowa, pomiar przy wejściu - DPP** | | 0,162 | 0,160 |
| L | 1,1 | 4,33 | 0,003 | 0,011 | 1,2 | ul. Sportowa 1, mieszkańcy nieobecni, pomiar przy wejściu - DPP** | | 0,111 | 0,110 |
| M | 0,8 | 3,15 | 0,002 | 0,008 | 1,1 | ul. Sportowa 2, mieszkańcy nieobecni, pomiar przy wejściu - DPP** | | 0,081 | 0,080 |
| N | < 0,8* | - | < 0,002 | - | 0,3 - 2,0 | ul. Budki 53, odmowa, pomiar przy wejściu - DPP** | | - | - |
| O | < 0,8* | - | < 0,002 | - | 0,3 - 2,0 | ul. Budki 51, mieszkańcy nieobecni, pomiar przy wejściu - DPP** | | - | - |
| P | < 0,8* | - | < 0,002 | - | 0,3 - 2,0 | ul. Budki 49, odmowa, pomiar przy wejściu - DPP** | | - | - |
| R | < 0,8* | - | < 0,002 | - | 0,3 - 2,0 | ul. Siewna 5, mieszkańcy nieobecni, pomiar przy wejściu - DPP** | | - | - |
| S | 1,5 | 5,91 | 0,004 | 0,016 | 1,3 | ul. Siewna 6/4, parter, okno - DPP** | | 0,152 | 0,150 |
| T | 1,1 | 4,33 | 0,003 | 0,011 | 1,1 | ul. Siewna 3, odmowa, pomiar przy wejściu - DPP** | | 0,111 | 0,110 |
| U | < 0,8* | - | < 0,002 | - | 0,3 - 2,0 | ul. Siewna 1, odmowa, pomiar przy wejściu - DPP** | | - | - |
| W | 0,8 | - | < 0,002 | - | 0,3 - 2,0 | ul. Biała 22, mieszkańcy nieobecni, pomiar przy wejściu - DPP** | | - | - |
| X | < 0,8* | - | < 0,002 | - | 0,3 - 2,0 | ul. Ludowa 27e, mieszkańcy nieobecni, pomiar przy wejściu - DPP** | | - | - |

„Bez pisemnej zgody Laboratorium niniejsze sprawozdanie nie może być powielane inaczej, jak tylko w całości. Ponadto wyniki dotyczą tylko badanych obiektów przywołanych w niniejszym sprawozdaniu z badań”

| Nr PP | Pole-E [V/m] | Pole-E *Ck, Cs, +U [V/m] | Pole-H [A/m] | Pole-H *Ck, Cs, +U [A/m] | Wysokość pomiaru [m] | Współrzędne PP x, y | Opis PP | WM _E | WM _H |
|-------|--------------|--------------------------|--------------|--------------------------|----------------------|---------------------|---|-----------------|-----------------|
| Y | < 0,8* | - | < 0,002 | - | 0,3 - 2,0 | | ul. Ludowa 27a, mieszkańcy nieobecni, pomiar przy wejściu - DPP** | - | - |
| Z | 0,8 | 3,15 | 0,002 | 0,008 | 1,4 | | ul. Biała 22c, parter, okno - DPP** | 0,081 | 0,080 |
| a | < 0,8* | - | < 0,002 | - | 0,3 - 2,0 | | ul. Ludowa 27c, odmowa, pomiar przy wejściu - DPP** | - | - |
| b | < 0,8* | - | < 0,002 | - | 0,3 - 2,0 | | ul. Ludowa 27b, mieszkańcy nieobecni, pomiar przy wejściu - DPP** | - | - |
| c | < 0,8* | - | < 0,002 | - | 0,3 - 2,0 | | ul. Ludowa 32, mieszkańcy nieobecni, pomiar przy wejściu - DPP** | - | - |
| d | < 0,8* | - | < 0,002 | - | 0,3 - 2,0 | | ul. Biała 18, mieszkańcy nieobecni, pomiar przy wejściu - DPP** | - | - |
| e | < 0,8* | - | < 0,002 | - | 0,3 - 2,0 | | ul. Sportowa 9a, odmowa, pomiar przy wejściu - DPP** | - | - |
| f | < 0,8* | - | < 0,002 | - | 0,3 - 2,0 | | ul. Sportowa 9b, mieszkańcy nieobecni, pomiar przy wejściu - DPP** | - | - |
| g | < 0,8* | - | < 0,002 | - | 0,3 - 2,0 | | ul. Sportowa 11a, mieszkańcy nieobecni, pomiar przy wejściu - DPP** | - | - |
| h | < 0,8* | - | < 0,002 | - | 0,3 - 2,0 | | ul. Sportowa 11/13, odmowa, pomiar przy wejściu - DPP** | - | - |
| i | < 0,8* | - | < 0,002 | - | 0,3 - 2,0 | | ul. Irysowa 3, odmowa, pomiar przy wejściu - DPP** | - | - |
| j | 1,4 | 5,52 | 0,004 | 0,015 | 1,5 | | ul. Irysowa 2, parter, okno - DPP** | 0,142 | 0,140 |
| k | < 0,8* | - | < 0,002 | - | 0,3 - 2,0 | | ul. Irysowa 4, odmowa, pomiar przy wejściu - DPP** | - | - |
| l | < 0,8* | - | < 0,002 | - | 0,3 - 2,0 | | ul. Irysowa 6, mieszkańcy nieobecni, pomiar przy wejściu - DPP** | - | - |
| m | < 0,8* | - | < 0,002 | - | 0,3 - 2,0 | | ul. Grażyny 5, odmowa, pomiar przy wejściu - DPP** | - | - |
| n | 1,2 | 4,73 | 0,003 | 0,013 | 1,2 | | ul. Grażyny 4, odmowa, pomiar przy wejściu - DPP** | 0,122 | 0,120 |
| o | 1,1 | 4,33 | 0,003 | 0,011 | 1,4 | | ul. Grażyny 6, odmowa, pomiar przy wejściu - DPP** | 0,111 | 0,110 |
| p | 0,8 | 3,15 | 0,002 | 0,008 | 1,4 | | ul. Grażyny 8, mieszkańcy nieobecni, pomiar przy wejściu - DPP** | 0,081 | 0,080 |
| r | 1,4 | 5,52 | 0,004 | 0,015 | 1,2 | | ul. Mickiewicza 90, mieszkańcy nieobecni, pomiar przy wejściu - DPP** | 0,142 | 0,140 |
| s | < 0,8* | - | < 0,002 | - | 0,3 - 2,0 | | ul. Mickiewicza 92, odmowa, pomiar przy wejściu - DPP** | - | - |
| t | < 0,8* | - | < 0,002 | - | 0,3 - 2,0 | | ul. Mickiewicza 73, mieszkańcy nieobecni, pomiar przy wejściu - DPP** | - | - |
| u | < 0,8* | - | < 0,002 | - | 0,3 - 2,0 | | ul. Mickiewicza 75/75a, mieszkańcy nieobecni, pomiar przy wejściu - DPP** | - | - |

* - poniżej czułości zestawu pomiarowego

** - zgodnie z rozporządzeniem pkt 14, dysponent został poinformowany z 3 dniowym wyprzedzeniem.

GKP - główne kierunki pomiarowe

PKP - pomocnicze kierunki pomiarowe

DPP - dodatkowe punkty pomiarowe

PP - pion pomiarowy

U - niepewność rozszerzona wynosi 57,6% przy poziomie ufności 95% i współczynniku rozszerzenia k=2

C_k - współczynnik pomiarowy badanej stacji podany przez operatora (C_k=1)

C_s - poprawka pomiarowa zastosowana w przypadku występowania innych instalacji na obszarze pomiarowym (C_s=2,5)

WM_E - wartość wskaźnikowa poziomu emisji pól elektromagnetycznych dla miejsc dostępnych dla ludności dla składowej elektrycznej pola

WM_H - wartość wskaźnikowa poziomu emisji pól elektromagnetycznych dla miejsc dostępnych dla ludności dla składowej magnetycznej pola

„Bez pisemnej zgody Laboratorium niniejsze sprawozdanie nie może być powielane inaczej, jak tylko w całości. Ponadto wyniki dotyczą tylko badanych obiektów przywołanych w niniejszym sprawozdaniu z badań”

7. Stwierdzenie zgodności

Na podstawie wytycznych podanych w Rozporządzeniu Ministra Zdrowia z dnia 17 grudnia 2019 r. w sprawie dopuszczalnych poziomów pól elektromagnetycznych w środowisku (Dz.U. 2019 poz. 2448) oraz sposobów sprawdzania dotrzymania tych poziomów zgodnie z Rozporządzeniem Ministra Klimatu z dnia 17 lutego 2020 r. w sprawie sposobów sprawdzania dotrzymania dopuszczalnych poziomów pól elektromagnetycznych w środowisku (Dz.U. 2020 poz. 258) dotyczących źródła wymagań, które muszą być spełnione (załącznik do rozporządzenia Ministra Klimatu z dnia 17 lutego 2020 r. (poz. 258)), w oparciu o zasadę podejmowania decyzji zgodną z pkt 26 załącznika do rozporządzenia Ministra Klimatu z dnia 17 lutego 2020 r. (poz. 258), na podstawie wyników pomiarów pól elektromagnetycznych wykonanych w dniu 09.04.2020 stwierdzono, iż w miejscach dostępnych dla ludności, dopuszczalne poziomy pól elektromagnetycznych w środowisku, określone w przepisach wydanych na podstawie art. 122 ust. 1 ustawy z dnia 27 kwietnia 2001 r. – Prawo ochrony środowiska, uznaje się za dotrzymane w obszarze pomiarowym, w którym w wyniku zastosowania sposobu sprawdzenia dotrzymania dopuszczalnych poziomów pól elektromagnetycznych w środowisku, udokumentowano, że żadna z wartości wskaźnikowych nie przekracza wartości 1.

8. Oświadczenie.

Wyniki badania odnoszą się wyłącznie do badanego obiektu.

Bez pisemnej zgody sprawozdanie nie może być powielane inaczej, jak tylko w całości.

Uwagi i zastrzeżenia przyjmowane są w formie pisemnej w ciągu 14 dni od daty otrzymania sprawozdania.

9. Spis załączników.

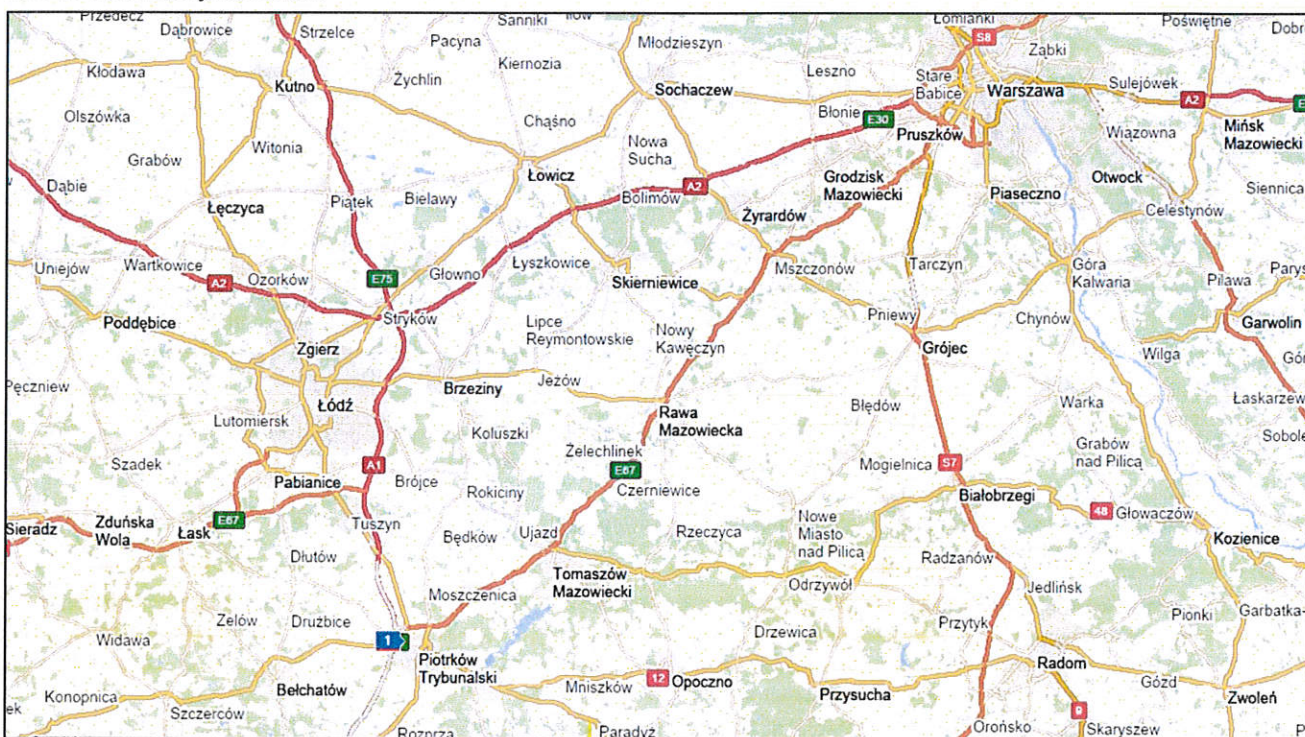
Zał. 1. Lokalizacja obiektu.

Zał. 2. Widok pionów pomiarowych

Zał. 3. Widok stacji bazowej

Koniec sprawozdania

Zał. 1. Lokalizacja obiektu

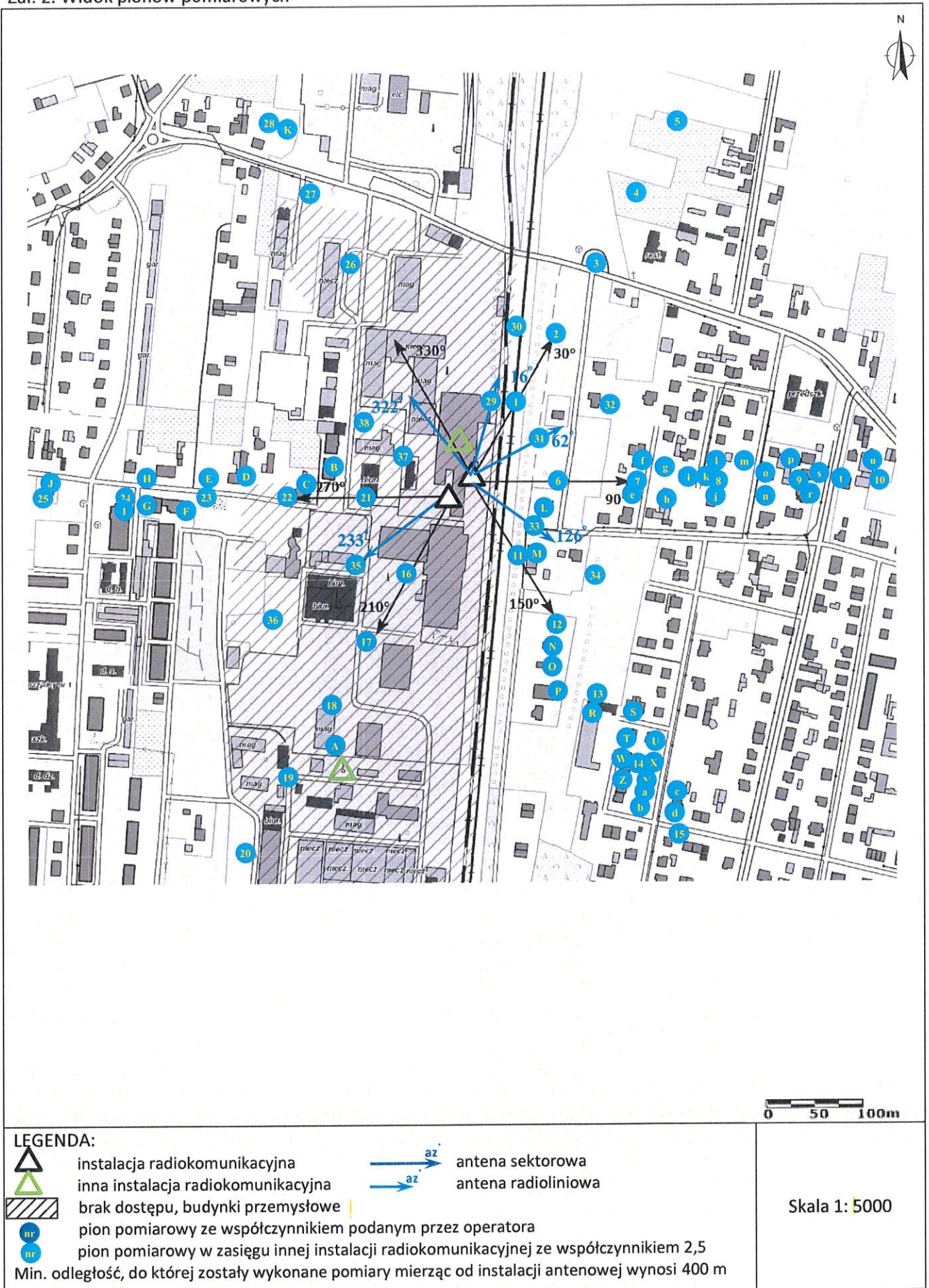


| Współrzędne geograficzne | |
|--------------------------|--------------|
| długość: | 19°41'09.2"E |
| szerokość: | 51°25'16.0"N |

„Bez pisemnej zgody Laboratorium niniejsze sprawozdanie nie może być powielane inaczej, jak tylko w całości. Ponadto wyniki dotyczą tylko badanych obiektów przywołanych w niniejszym sprawozdaniu z badań”

30/04/OŚ/2020-P4-W

Załącznik 2. Widok pionów pomiarowych



„Bez pisemnej zgody Laboratorium niniejsze sprawozdanie nie może być powielane inaczej, jak tylko w całości. Ponadto wyniki dotyczą tylko badanych obiektów przywołanych w niniejszym sprawozdaniu z badań”

Załącznik 3. Załączniki graficzne

